

Тема: Основы построения фотореалистичных изображений.

Цель работы

Используя результаты лабораторной работы №2, аппроксимировать заданное тело выпуклым многогранником. Точность аппроксимации задается пользователем. Недопустимы видимые на поверхности швы. Объект должен иметь 3 степени свободы вращения. Обеспечить удаление невидимых линий и поверхностей. Реализовать простую модель закраски для случая одного источника света. Дать возможность изменить положение источника света и параметров освещения.

Задача

Вариант 1: Прямой усеченный эллиптический конус.

Оборудование

Ноутбук с предустановленным QT Creator, видеокарта ATI.

Теоретическая часть

Аппроксимированная выпуклыми многоугольниками (полигонами) фигура, была реализована во 2-ой лабораторной работе. Остается добавить модель освещения. В качестве модели освещения была взята модель Фонга.

Пусть заданы точечный источник света, расположенный в некоторой точке, поверхность, которая будет освещаться и наблюдатель. Будем считать, что наблюдатель точечный. Каждая точка поверхности имеет свои координаты и в ней определена нормаль к поверхности. Её освещенность складывается из трех компонент: фоновое освещение (ambient), рассеянный свет (diffuse) и бликовая составляющая(specular). Свойства источника определяют мощность излучения для каждой из этих компонент, а свойства материала поверхности определяют её способность воспринимать каждый вид освещения.

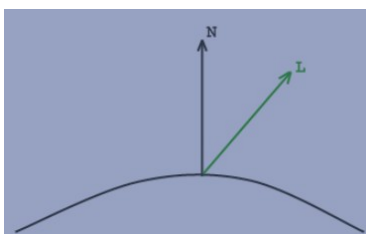
1. **Фоновое освещение** это постоянная в каждой точке величина надбавки к освещению. Вычисляется фоновая составляющая освещения как:

$$I_a = k_a i_a$$

Из формулы выше видно, что фоновая составляющая освещенности не зависит от пространственных координат освещаемой точки и источника. Поэтому при моделировании освещения, в большинстве случаев, не имеет смысла брать более одного фонового источника света. Часто просто задается некое глобальное фоновое освещение всей сцены.

2. **Рассеянный свет** при попадании на поверхность рассеивается равномерно во все стороны. При расчете такого освещения учитывается только ориентация поверхности (нормаль) и направление на источник света. Рассеянная составляющая рассчитывается по закону косинусов (закон Ламберта):

$$I_d = k_d \cos(\vec{L}, \vec{N}) i_d = k_d (\vec{L} \cdot \vec{N}) i_d$$



3. Модель освещения Кука-Торренса

Так как эта модель используется для расчета отраженного света, то рассеянный свет мы будем вычислять по классической формуле Ламберта, в которой освещенность точки зависит только от угла между нормалью к поверхности в данной точке, и положением источника света. Вычисляется как скалярное произведение нормали и нормализованного положения источника света:

$$K_d = N \cdot L$$

Теперь рассмотрим модель Кука-Торренса. Количество отраженного света зависит от трех факторов:

1. Коэффициент Френеля (F)
2. Геометрическая составляющая, учитывающая самозатенение (G)
3. Компонент, учитывающий шероховатость поверхности (D)

Общая формула для вычисления отраженного света такова:

$$K = \frac{F \cdot G \cdot D}{(\vec{V} \cdot \vec{N}) \cdot (\vec{L} \cdot \vec{N})}$$

Рассмотрим вычисление геометрической составляющей:

$$G = \min \left(1, \frac{2(\vec{H} \cdot \vec{N})(\vec{V} \cdot \vec{N})}{(\vec{V} \cdot \vec{H})}, \frac{2(\vec{H} \cdot \vec{N})(\vec{L} \cdot \vec{N})}{(\vec{V} \cdot \vec{H})} \right)$$

где N – нормаль в точке, V – вектор взгляда, L – положение источника света, H – нормализованная сумма векторов L и V. Все векторы должны быть нормированы.

Компонент, учитывающий шероховатость поверхности – это распределение микрограней поверхности, для более точного учета отраженного от них света. Обычно, для вычисления этого компонента используют распределение Бекмана:

$$D = \frac{1}{4m^2(\vec{H} \cdot \vec{N})^4} \cdot e^{\left(\frac{(\vec{H} \cdot \vec{N})^2 - 1}{m^2(\vec{H} \cdot \vec{N})^2} \right)}$$

где параметр m (от 0 до 1) определяет шероховатость поверхности. Чем он больше, тем поверхность шероховатее, следовательно, отражает свет даже под широкими углами.

Коэффициент Френеля.

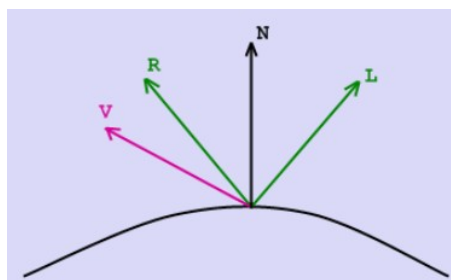
Для вычисления коэффициента Френеля существует много формул, но в данном случае целесообразнее применять аппроксимацию Шлика:

$$F = F_0 + \left(1 - (\vec{V} \cdot \vec{N}) \right)^5 \cdot (1 - F_0)$$

где F_0 – количество отраженного света при нормальном падении (перпендикулярно поверхности). Для того чтобы не вводить дополнительный параметр, и не усложнять процесс вычислением степени, можно использовать другую формулу:

$$F = \frac{1}{1 + (\vec{V} \cdot \vec{N})}$$

С поправкой на то, что металлы хорошо отражают – она дает так же неплохой результат. Таким образом, мы вычислили все составляющие, и теперь можно подставить их в исходную формулу и получить ожидаемый результат.



Именно зеркальное отражение представляет наибольший интерес, но в то же время его расчет требует больших вычислительных затрат. При фиксированном положении поверхности относительно источников света фоновая и рассеянные составляющие освещения могут быть просчитаны единожды для всей сцены, т.к. их значение не зависит от направления взгляда. С зеркальной составляющей этот фокус не сработает и придется пересчитывать её каждый раз, когда взгляд меняет свое направление.

Для упрощенного вычисления зеркального отражения можно использовать модель Блинна-Фонга. Вычислим в каждой точке вектор полупути \vec{H} :

$$\vec{H} = \frac{\vec{L} + \vec{V}}{|\vec{L} + \vec{V}|} = (\vec{L} + \vec{V})_{norm}$$

который показывает ориентацию площадки, на которой будет максимальное отражение. Тогда величину $(\vec{R} \cdot \vec{V})^a$ можно заменить величиной $(\vec{H} \cdot \vec{N})^b$.

Во всех вычислениях выше, для рассеянной и зеркальной компонент, если скалярное произведение в правой части меньше нуля, то соответствующая компонента освещенности полагается равной нулю.

Ход решения

Используя результаты лабораторной работы №2, добавим новое тело. Приходится изменить конвейер рендеринга с дублирующимися вершинами на смежных гранях и реализовать закраску полигонов с учетом освещения.

Для данной лабораторной работы был реализован удобный пользовательский интерфейс, который включает в себя изменение пространственного положения фигуры, её масштабирование левой правой кнопкой мыши и колесиком соотв.

Для работы со светом добавлены функции расчета нормали по векторам, косинуса угла и результирующего цвета грани.

Генерация усеченного эллипс конуса требует расчета точек пересечения боковой поверхности и усекающей плоскости, заданной коэффициентами парам уравнения.

Исходный код

Для подготовки работы были выполнены следующие исходные файлы:

```
void Widget::SetColor(double cosDifuse,double cosSpecular)
{
// qDebug() << cosDifuse;
if (cosDifuse < 0) {cosDifuse = 0;}
if (cosSpecular < 0) {cosSpecular = 0 ;}
double red,green,blue;
red = color_anbient.red()/255.0+
cosDifuse*color_diffuse.red()/255.0+
// pow(cosSpecular*color_specular.red()/255.0,intense);
cosSpecular*color_specular.red()/255.0;
color.setRed(max(0,min(red*255,255)));
}

typedef float Matrix[4][4];
typedef float Point[4];

typedef struct Vector {
    float x;
    float y;
    float z;
    Vector(){};
    Vector (float a, float b, float c)
    {
        x = a;
        y = b;
        z = c;
    }
    Vector(Point p1, Point p2)
    {
        x = p2[0] - p1[0];
        y = p2[1] - p1[1];
        z = p2[2] - p1[2];
    }
} Vector;

void Point_copy(float dst[4], const float src[4]);
void Point_mul(Point res,const Matrix M, const Point src);
float Point_scalar(Point p1, Point p2);
void Point_minus(Point res, Point p1, Point p2);
void Matrix4f_set_E(float M[4][4]);
void Matrix4f_set_scale(Matrix M, float scale);
void Matrix4f_set_rotX(Matrix M, float rotX);
```

```

void Matrix4f_set_rotY(Matrix M, float rotateY);
void Matrix4f_set_rotZ(Matrix M, float rotZ);
void Matrix4f_new(float M[4][4]);
void Matrix4f_mult(Matrix M1, Matrix M2);

#endif // MATRIX_H

#ifndef MATRIX_H
#define MATRIX_H
#include <math.h>

void Widget::paintEvent(QPaintEvent *event)
{
    QPainter p(this);
    int i, j;
    float dot[4];
    float ox, oy;

    ox=this->width()/2;
    oy=this->height()/2;

    for(i=0;i<6;i++) // Foreach polygon
    {
        normals = 0;
        for(i=0;i<quads/4;i++) // Foreach polygon
        {
            Vector norm;
            norm = Normalize(Vert[4*i], Vert[4*i+1], Vert[4*i+2]);

            Normals[normals++] = norm;

            // Always A,B = max(0, (A,B))!
            //Set V, H, L, N

            Vector N(-norm.x, -norm.y, -norm.z);
            Vector L;
            Vector V(0, 0, -1);
            N = Normalised(N);
            L = Normalised(light);
            V = Normalised(V);
            Vector H( L.x+V.x, L.y+V.y, L.z+V.z);
            H = Normalised(H);

            double G, D, F, K;
            double HN = CosV(H, N);
            double HN2= HN*HN;
            double VH = CosV(V, H);
            double VN = CosV(V, N);
            double LN = CosV(L, N);

```

```

double m  = ui->val_m->value() *0.01;
double f0 = ui->val_f0->value()*0.01;

G = min(1, min( 2*HN*VN/VH, 2*HN*LN/VH ));

D = exp( HN2-1/(m*m*HN2) ) / (4*m*m* HN2*HN2) ;

//F = 1/(1 + CosV(V,N));
F = f0 + (1-f0)*pow( 1-VN ,5);

K = G*D*F/( VN*LN);
K = max(0,K);

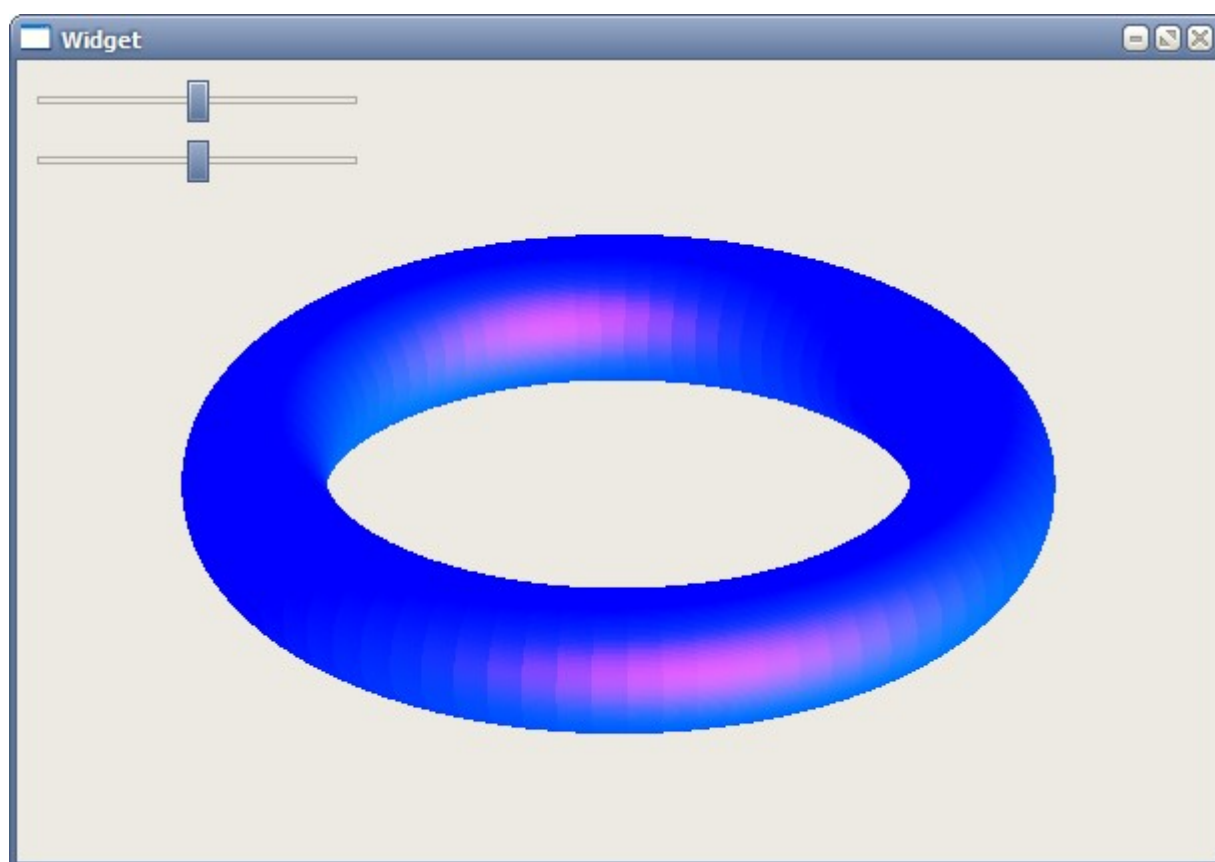
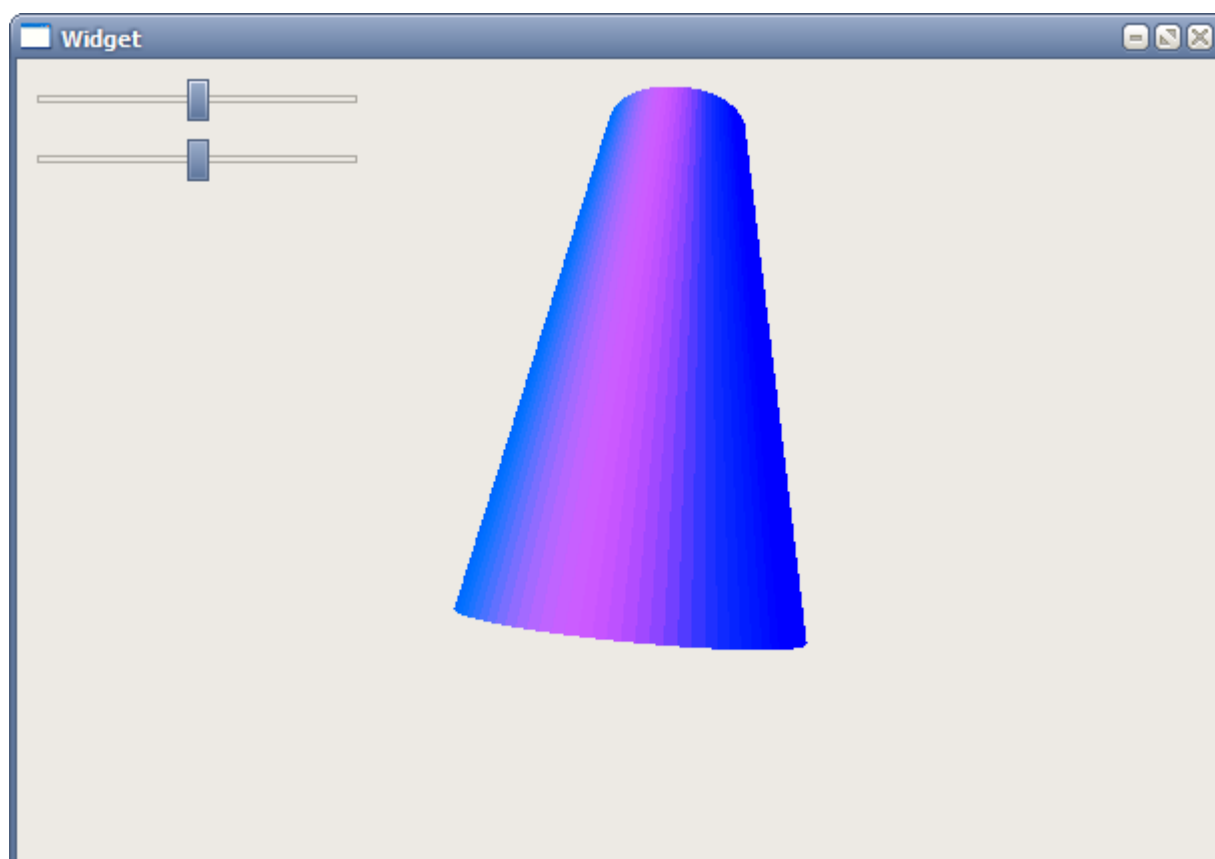
// qDebug() << normal.x << normal.x << normal.x
SetColor(CosV(norm,light), K);
//color = color_anbient;
p.setPen(Qt::NoPen);
p.setBrush(color);

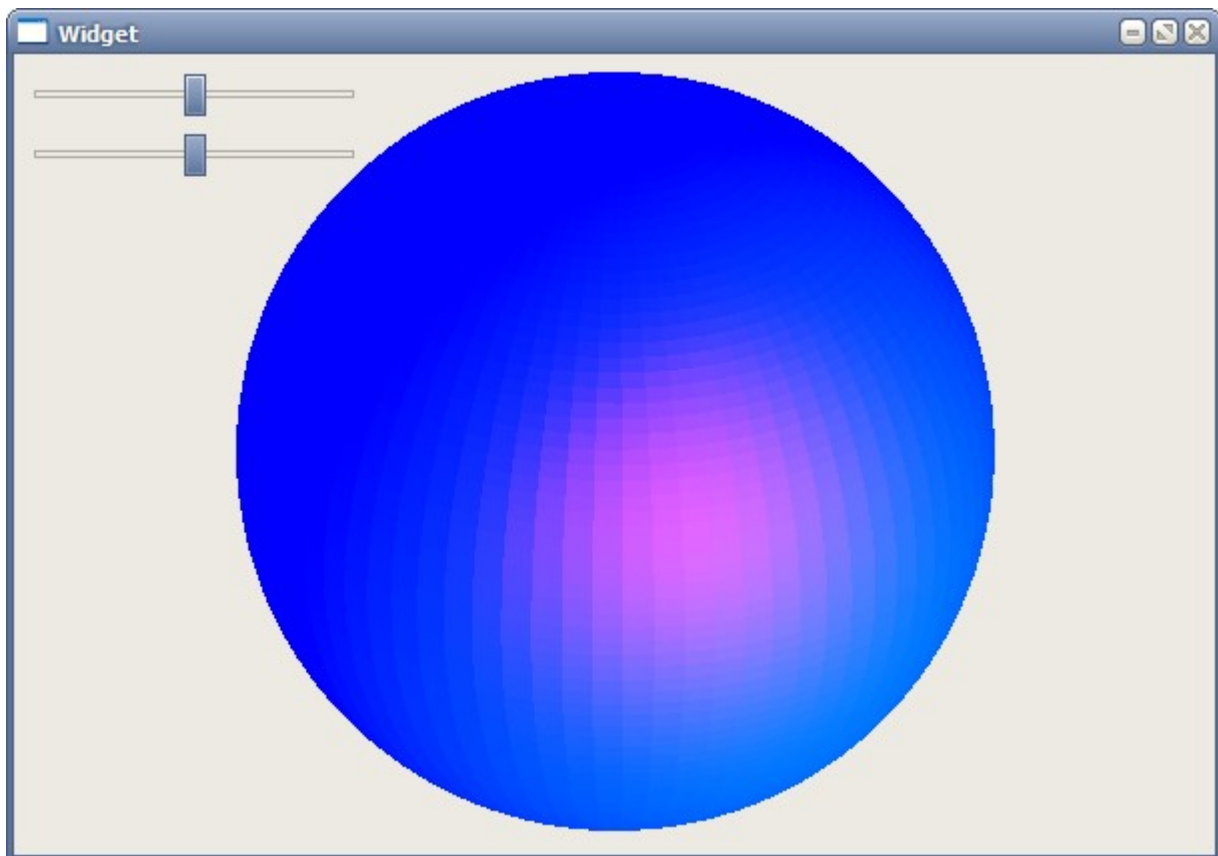
QPointF MMM[4];
for(int k=0; k<4; k++)
{
    MMM[k].setX( ox+Vert[4*i+k][0]);
    MMM[k].setY( oy-Vert[4*i+k][1]);
}

// MMM[2] = ox+Vert[4*i+(j+1)%4][0];
// MMM[3] = oy-Vert[4*i+(j+1)%4][1];

p.drawPolygon(MMM, 4);
}
}

```





Замечания

Так как вершины представляются однородными координатами, неплохо было бы реализовать перспективную проекцию фигуры, что не было сделано в данной лабораторной работе. Так же параллельный перенос

Выводы

Были изучены различные модели освещения и способы их реализации, а также способы преобразования координат при помощи матриц.